



# 以 DPM-Solver++ 加速之 GDMP 對抗淨化：在交通號誌分類上的評估與分析

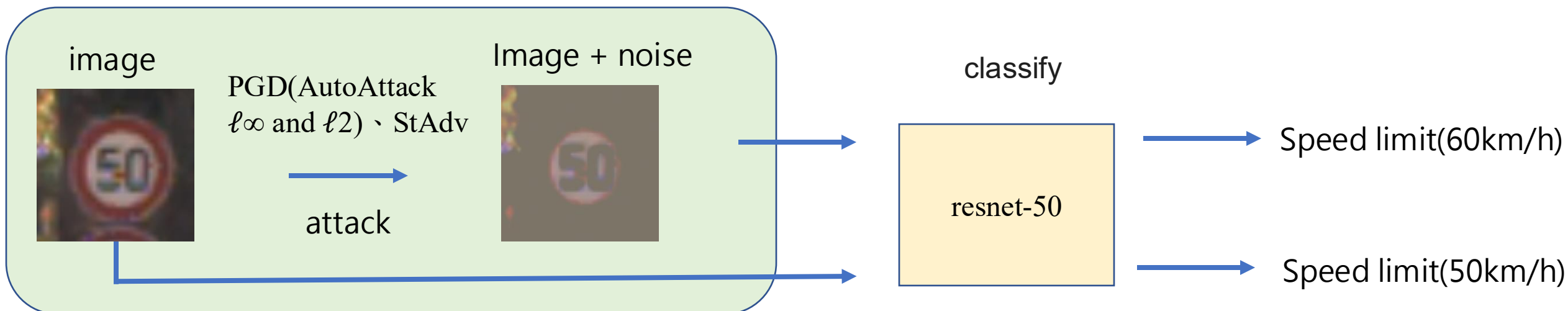
作者：黃文良，沈婉瑛，劉冠廷，黃意婷

單位：國立臺灣科技大學電機工程學系

聯絡信箱：{B11107152, M11307508, B11207111, ythuang}@mail.ntust.edu.tw

# 介紹

自駕感知易受對抗攻擊影響而誤判，本研究針對真實交通號誌在對抗攻擊下的安全風險，先以淨化修正影像，使模型能正確辨識，以確保自駕車安全。



## 動機與問題

- 自駕感知易受對抗攻擊(PGD  $\ell\infty/\ell2$ 、StAdv)。
- 既有擴散淨化步數多、延遲高，難以接近即時。
- 能否在較少步數下，保留關鍵特徵同時去除擾動？

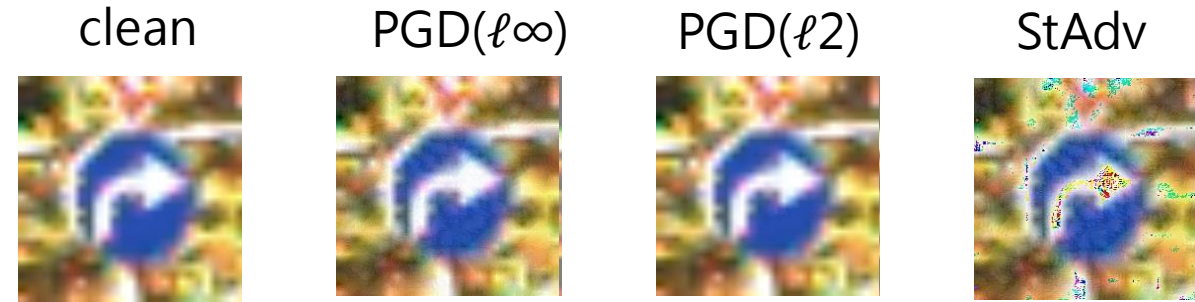
研究聚焦在在較少步數、較低延遲條件下，檢驗擴散式淨化是否能兼顧關鍵特徵與去擾動效果。

# 研究貢獻

- 結合 **GDMP** 與 **DPM-Solver++** 之加速採樣框架。
- 在 **GTSRB[10]** 上系統性評估 **Standard/Robust** 指標，並與傳統前處理對比，同時量測 **Purification latency**。
- 平均淨化延遲可控制在秒級 (約 5.9 秒)。

## 背景：對抗攻擊

### 像素級擾動 (Pixel-level Noise)



- **PGD( $\ell\infty$ )**[13] : 採多步迭代梯度攻擊，限制單一像素的最大改變量，產生人眼難以察覺的細微雜訊。
- **PGD( $\ell2$ )**[13] : 採多步迭代梯度攻擊，限制整張影像的總擾動能量(歐氏距離)，控制整體的變異程度。
- **FGSM**[11] : 利用梯度的符號方向進行單步攻擊，計算極快但攻擊力較弱，是早期最具代表性的基礎攻擊方法。

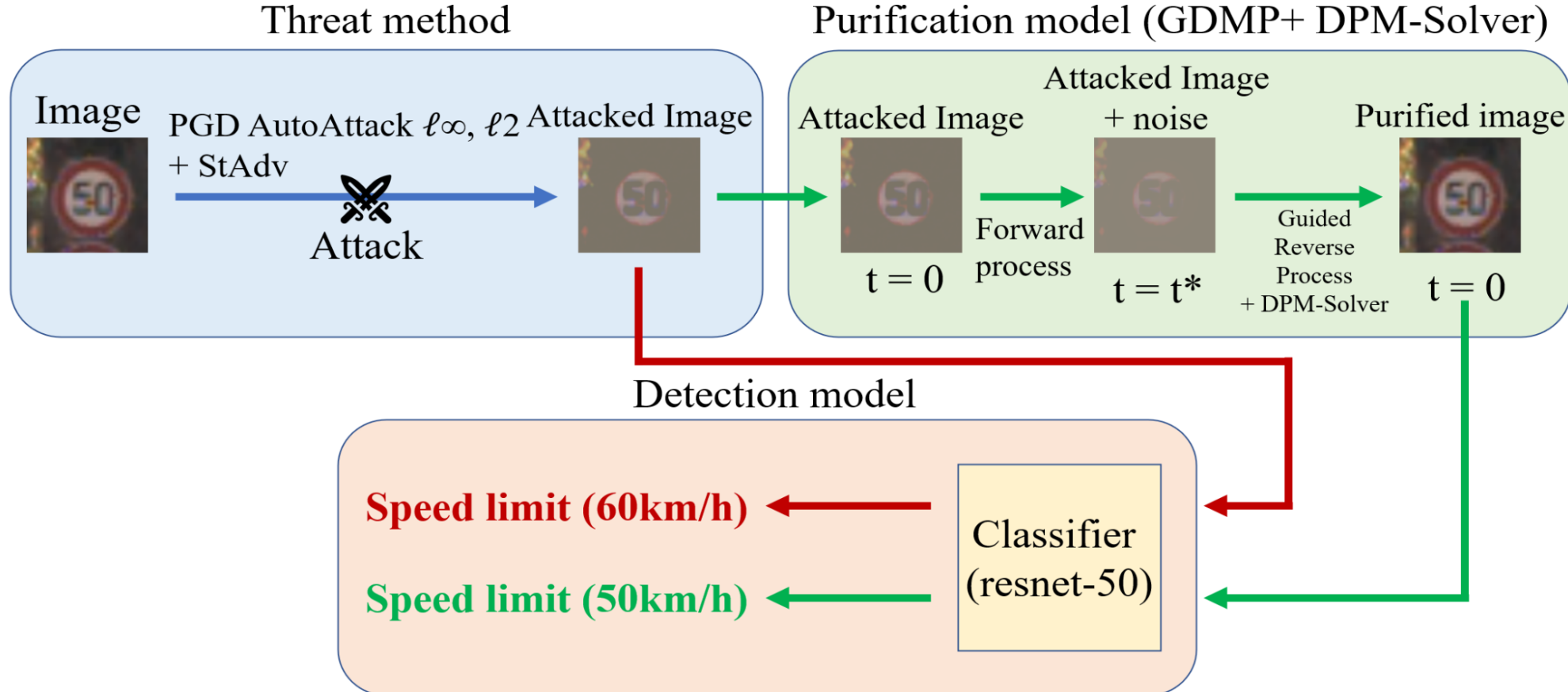
### 空間形變 (Spatial Deformation)

- **StAdv**[20](幾何位移): 透過最佳化流場產生幾何形變與像素位移，破壞影像結構語義而非直接修改像素數值。

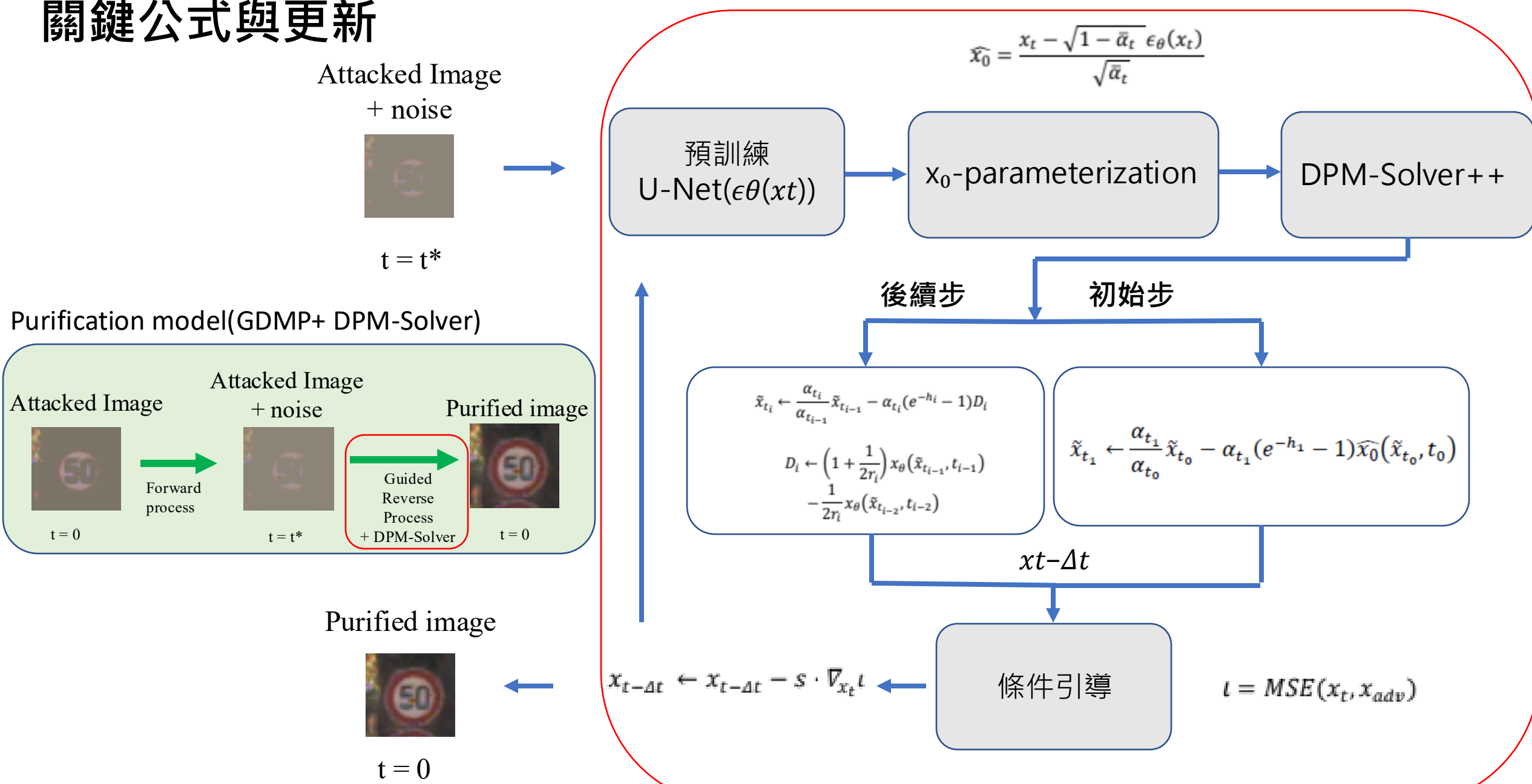
## 背景：擴散模型

- 擴散淨化：前向加噪稀釋對抗擾動，反向去噪恢復影像的關鍵特徵。
  1. **DiffPure[15]**：把對抗樣本送到較高噪聲層後再進行反向採樣。
  2. **IDC[8]**：把分類轉成「影像→標籤模板影像」的擴散生成，再用相似度評分決定類別。
  3. **DDIM[18]**：以非馬可夫、確定性路徑加速反向採樣，能用遠少於 DDPM 的步數達到可接受品質。
  4. **DPM-Solver++[13]**：把反向擴散視作 ODE，利用高階多步展開結合前幾步的模型輸出做二/三階修正。
  5. **GDMP[19]**：在反向去噪期間加入「條件式距離引導」（如 MSE/SSIM）。
- 挑戰：少步數下的誤差累積與關鍵特徵保持。

# 方法總覽



# 關鍵公式與更新



# 實作設定

- Dataset : GTSRB
- Detection model : ResNet-50
- 攻擊參數 : PGD( $\ell\infty$  :  $\epsilon=8/255$ 、 $\ell2$  :  $\epsilon=1.0$ )、StAdv  $\epsilon=0.05$
- 淨化參數 : 淨化步數設為 24、目標時間  $t^*=0.6$ 、引導係數為 1.5
- 評估 : Standard / Robust accuracy、延遲觀測

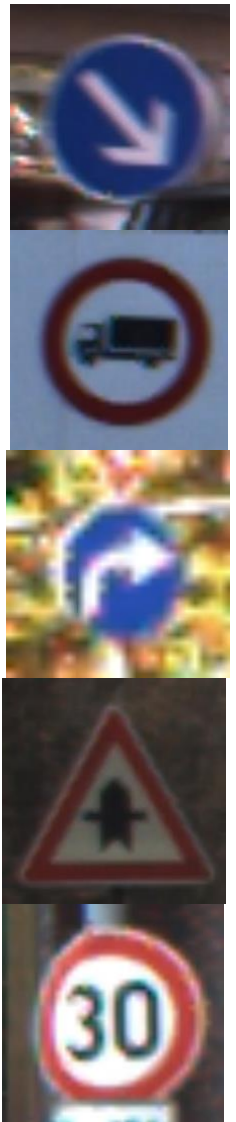
# 實驗結果

表1：對抗強自適應攻擊的標準準確率和穩健準確率

Method	Standard Acc. (%)	Robustness Acc. (%)		
		$\ell\infty$	$\ell2$	StAdv
無防禦	93.81	0.47	31.29	0.43
JPEG Compression[12]	66.43	20.97	71.62	5.79
Feature Squeezing[13]	75.38	28.38	56.19	10.32
Median smoothing[13]	65.36	4.48	58.60	1.47
<b>ours</b>	<b>68.76</b>	<b>19.50</b>	<b>19.50</b>	<b>13.00</b>

## 淨化範例(對比圖 : $x_{adv}$ / 淨化後)

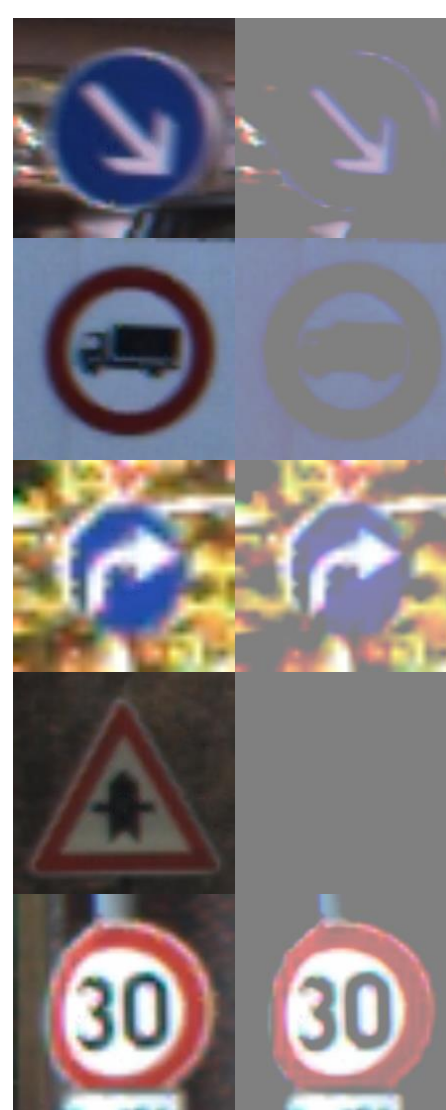
clean



PGD( $\ell\infty$ )



PGD( $\ell2$ )



StAdv



# 影像品質與淨化延遲

表2 : Image Quality Metrics:  $\mathbf{IQ}(x, x_{our})$  ,  $x$ 表示對抗樣本 ,  $x_{our}$  表示經我們的淨化方法後的影像

Attack	PSNR	SSIM	LPIPS
PGD- $\ell\infty$	10.7345	0.4366	0.7132
PGD- $\ell2$	10.7005	0.5411	0.5598
StAdv	10.1532	0.3506	0.7467

表3 : Purification Latency , Latency(ms)為淨化的延遲

Attack	Latency (ms)
PGD- $\ell\infty$	5987.808
PGD- $\ell2$	5963.320
StAdv	5900.977

# 結論

- 以 DPM-Solver++ 加速 GDMP 淨化。
- 實驗證實結合 DPM-Solver++ 後，平均淨化延遲可控制在秒級（約 5.9 秒），為未來實現自駕車即時防禦奠定了基礎。

# 未來工作

- 更完整的評估(擴充到 adaptive-attack、更多的資料集評估)。
- 衡量引導權重  $s$  與目標步數  $t^*$  之權衡，使準確率近一步的提高。

# Reference

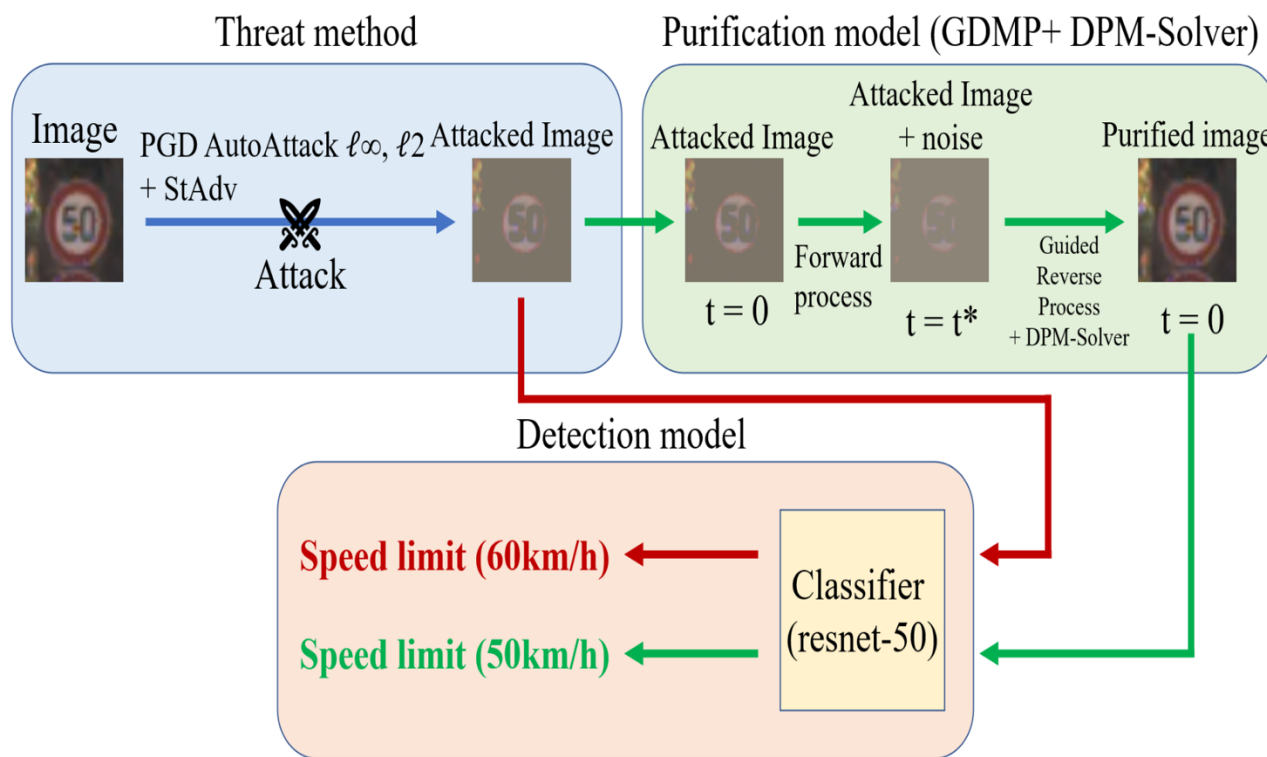
- [1] 葉臻 . (2025, January 26). 國道 1 號 楊梅 休息站 電動車 超載 自撞 起火 已 4 死 4 傷 .  
<Https://Www.Cna.Com.Tw/News/Asoc/202501260024.Aspx>.<https://www.cna.com.tw/>
- [2] Carlini, N., & Wagner, D. (2017, May). Towards evaluating the robustness of neural networks. In 2017 ieee symposium on security and privacy (sp) (pp. 39-57). ieee.
- [3] Chen, X., Li, Y., Zhang, H., Wang, J., & Liu, M. (2025). DiT-Air: Revisiting the efficiency of diffusion model architecture design in text to image generation. arXiv preprint arXiv:2503.10618.
- [4] Duan, R., Ma, X., Wang, Y., Bailey, J., Qin, A. K., & Yang, Y. (2020). Adversarial camouflage: Hiding physical-world attacks with natural styles. In Proceedings of the IEEE/CVF conference on computer vision and pattern recognition (pp. 1000-1008).
- [5] Dziugaite, G. K., Ghahramani, Z., & Roy, D. M. (2016). A study of the effect of JPG compression on adversarial images. arXiv preprint arXiv:1608.00853.
- [6] Eykholt, K., Evtimov, I., Fernandes, E., Li, B., Rahmati, A., Xiao, C., ... & Song, D. (2018). Robust physical-world attacks on deep learning visual classification. In Proceedings of the IEEE conference on computer vision and pattern recognition (pp. 1625-1634).
- [7] He, K., Zhang, X., Ren, S., & Sun, J. (2016). Deep residual learning for image recognition. Proceedings of the IEEE Conference on Computer Vision and Pattern Recognition (CVPR), 770–778.
- [8] Hefei Mei, Minjing Dong, Chang Xu. (2025). Efficient Image-to-Image Diffusion Classifier for Adversarial Robustness. arXiv preprint arXiv:2408.08502

- [9] Ho, J., Jain, A., & Abbeel, P. (2020). Denoising diffusion probabilistic models. *Advances in Neural Information Processing Systems*, 33, 6840–6851.
- [10] Ian J. Goodfellow, Jonathon Shlens, Christian Szegedy. (2015). EXPLAINING AND HARNESSING ADVERSARIAL EXAMPLES . arXiv preprint arXiv: 1412.6572
- [11] Lowery , L. (2025, March 12). Researchers Find Low-Cost Malicious Attacks Can Affect AV Operations, Most U.S. Drivers Won' t Ride Driverless. <Https://Www.Repairerdrivennews.Com/2025/03/12/Researchers-Find-Low-Cost-Malicious-Attacks-Can-Affect-Av-Operations-Most-u-s-Drivers-Wont-Ride-Driverless/?Ut. https://www.repairerdrivennews.com/>
- [12] Lu, C., Zhou, Y., Bao, F., Chen, J., Li, C., & Zhu, J. (2022). DPM-Solver++: Fast solver for guided sampling of diffusion probabilistic models. arXiv:2211.01095.
- [13] Madry, A., Makelov, A., Schmidt, L., Tsipras, D., & Vladu, A. (2017). Towards deep learning models resistant to adversarial attacks. arXiv preprint arXiv:1706.06083.
- [14] Nie, W., Guo, B., Huang, Y., Xiao, C., Vahdat, A., & Anandkumar, A. (2022). Diffusion models for adversarial purification. arXiv preprint arXiv:2205.07460.
- [15] Peebles, W., & Xie, S. (2023). Scalable diffusion models with transformers. In *Proceedings of the IEEE/CVF international conference on computer vision* (pp. 4195-4205).
- [16] Song, D., Eykholt, K., Evtimov, I., Fernandes, E., Li, B., Rahmati, A., ... & Kohno, T. (2018). Physical adversarial examples for object detectors. In *12th USENIX workshop on offensive technologies (WOOT 18)*.
- [17] Song, J., Meng, C., & Ermon, S. (2020). Denoising diffusion implicit models. arXiv preprint arXiv:2010.02502.
- [18] Wang, J., Lyu, Z., Lin, D., Dai, B., & Fu, H. (2022). Guided diffusion model for adversarial purification. arXiv preprint arXiv:2205.14969.

- [19] Xiao, C., Zhu, J.-Y., Li, B., He, W., Liu, M., & Song,D. (2018). Spatially transformed adversarial examples. arXiv preprint arXiv:1801.02612.
- [20] Xu, W., Evans, D., & Qi, Y. (2017). Feature squeezing: Detecting adversarial examples in deep neural networks. arXiv preprint arXiv:1704.01155.
- [21] Xue, M., Yuan, C., He, C., Wang, J., & Liu, W. (2021). NaturalAE: Natural and robust physical adversarial examples for object detectors. Journal of Information Security and Applications, 57, 102694.

**Thanks for listening.**

# Q & A



Method	Standard Acc. (%)	Robustness Acc. (%)		
		$\ell_\infty$	$\ell_2$	StAdv
無防禦	93.81	0.47	31.29	0.43
JPEG Compression	66.43	20.97	71.62	5.79
Feature Squeezing	75.38	28.38	56.19	10.32
Median smoothing	65.36	4.48	58.60	1.47
<b>ours</b>	68.76	19.5	19.5	13